

討 4 直接還元法における燃料比の限界

東京大学 工学部

相馬 胤和

1 まえがき

現行の高炉一転炉法はその生産性の高さと燃料消費量の低いことにより、他の製鋼法を圧倒しているといえる。高炉の熱損失は非常に少なく、ほぼ断熱反応装置といえるところまで改良され、その燃料比は理論燃料比に近いところにまで達し、高炉法は燃焼期にあるといえる。しかし高炉法には強度の高いコーカスを必要とすることから、石炭とともに強粘結炭の動態に大きく支配されている。将来資源的に見て強粘結炭は不足する方向にあり、それにともなつて高炉によらない直接製鉄法がクローズアップされてきた。その中でもとくに石油産出地帯を中心に天然ガスによる鉄鉱石の還元を軸とする直接還元法が高炉と共に存して、工業的に成立し得る状況になつてきる。

これらの直接還元法は高炉に比較すれば、まだ技術的蓄積は少なく、この数年著しく熱消費量は低下しているが、今後さらに技術的な発展をするものと思われる。採用したデータは充分新らしいものとはいえないが、考察を行なつてみる。

2 高炉法と直接還元法の比較

近年高炉法と直接還元法の熱バランスの比較がなされるようになつてきる。R.S. Barnes¹⁾ や S. Elektorp²⁾ は各法のエネルギーバランスを図示している。それらにおける高炉の燃料比はやや高いので、日本における高炉操業の1例として重見³⁾のデータを使用した。この場合のコーカス比は推算で 440 kg/t となる。回転炉としては SL/RN 法として U. Kalla⁴⁾ のデータを利用した。なお溶解還元法は工業的規模で行なわれていないが、S. Elektorp²⁾ のデータを使用した。流動層炉法には充分比較にたえるようなデータが見当らないので、ここでははぶいたが、考え方はシャフト炉に準ずることとする。

これらのデータから、入熱はリサイクルを考えず、一次の燃料収热量をとり、出熱は利用熱として製品鉄の還元に要する熱量をとつて、この値を基準の 100% とし、他の値はこれに対する % で表示した。損失熱はいろいろ考えられるが、物理的熱損失と化学的熱損失を取り上げた。物理的熱損失としては炉体からの放熱と排出ガス中の顯熱を加えた。また化学的熱損失としては排出ガス中の収热量をとつた。この場合リサイクルにより炉内に還元されるガスの収热量は除外した。物理的熱損失は熱交換により回収し得る熱を表わし、化学的熱損失は燃焼により他に利用し得る熱を示している。各種還元法における燃料比の比較を行なう際には、これら物理的熱損失と化学的熱損失を最小にすることと燃料比の限界を示すとの考え方の单纯化を試みた。

その結果を表1に示す。各データは計算の基準が多々違つてゐるが、詳細な比較をするには充分とはいえないが、大勢を示すには支障はないものと思う。

物理的損失は、還元炉については、溶解還元法は 17%，高炉法は 10%，シャフト炉法は 4% 内外で、その値は炉の平均温度が高くなる程多く、シャフト炉は炉内温度が低く、レンガを保護しなくてよいため少ない。つぎに還元炉以外の炉については、高炉の熱風炉は蓄熱式であるため少なく 5% 内外であるが、シャフト炉ではガス改質炉の熱損失が非常に多く 80 ~ 100% を示している。これは钢管型の流通式ガス-ガス熱交換器のため效率が低い。最近この改質炉の熱回収を改善し、燃料消費量を低くした例が報告され、3.0 Gcal/t になるとされるが、少ないものは 2.6 Gcal/t ともいわれている。これら上表の例によつて逆算すると、改質炉の熱損失がそれされ 51% と 29% と推算される。

表 1 各製鉄法の熱バランスの比較

製鍊法	文献	燃料消費量		製品鉄基元熱量		物理的損失熱量		化學的損失熱量 (再利用可能)
		Gcal/t	%	Gcal/t	%	熱風炉 改質炉	還元炉	
高炉法	1)		180.3		100.	4.6	12.1	42.8
	2)	3.75	214.3	1.75	100.		8.9	56.5
	3)	3.56	224.8	1.59	100.	6.9	9.2	54.9
シフト炉法	1)		200.		100.	96.5	3.5	0.
	2)	3.45	197.1	1.75	100.	77.1		0.
ロータリーキルン法	4)	3.42	195.2	1.75	100.			
溶融還元法	2)	3.05	174.3	1.75	100.		16.6	17.4

29%とハラウは少し低すぎる感がある。熱回収をこの程度にするのに水蒸気発生など、ガス一液体熱交換を使えば可能であるが、その熱を還元炉にリサイクルすることは、かなり困難なことと思われる。化學的熱損失については、高炉は一種のガス発生機であり、ユース中熱量の約40%が炉頂ガスとして出てゆく。このうち一部は熱風炉を通し炉内に還元される。高炉の加熱はC→COへの燃焼に支えられ、還元の約30%がC→COによる直接還元によることから宿命的である。これに比べ、シフト炉では天然ガス中のCH₄はH₂OまたはCO₂により改質され、COとH₂になるので、C→CO反応の寄与は高炉より少なく、また還元はすべてガスにより行なわれる。還元終了ガスは燃焼により鉱石の加熱に使われるため、再利用可能なガスの発生はない。

ロータリーキルン法は燃料の多様性の点からは、将来にかけて理想的な還元法であるが、回転部分の高さなど、炉内でクリーニングの形成や個々の鉱石と燃料の物性に大きく支配されることから、あまり進展はみられていない。ただこの方法の大きな欠点であつて高い排出ガス温度を、グレートで鉱鉄石の予熱に利用することにより、表1に示すように、燃料消費量はかなり良い結果が得られている。

溶融還元法はまだ工業的規模では実施されていないが、FeO+C=Fe+CO反応を主体とする固体炭素による溶融鉄鉱石の還元では熱量供給の面で電力を使う以外には考えられず、一まず置くことにする。つぎに最近提案されてい3、鉄鉱石を溶融状態でガス還元し、FeO+CO=Fe+CO₂反応を主体とし、溶融体を高温に保つ熱供給を燃焼に頼る方法を考えてみると、この場合、同一バス中に還元と酸化とが同時に進行する技術的な裏づけが必要である。またFeOは強い耐火物の問題がある。反応はガス一液体反応で、しかもガス密着が變化しない反応であるため、反応速度のみではなく物質移動速度も大きく依存する。反応速度については、ガス一固体反応に対して圧倒的に速い、或はガス一液体界面積を極度に大きくする必要がある。前者はまだ実験的な確証が得られていないので、以下後者に頼らざるを得ない。後者では微細な気泡を液体中に広く分散させることになるが、技術的に可能か否か点に問題がしばられ、かなり困難である。

高炉法と現在一箇所の燃料消費量を示す、COガス改質によるシフト炉法の燃料比の比較を行なう場合、上述の物理的、化学的熱損失をどこまで減らせるかにみめてくる。化学的熱損失は主として化学平衡と熱流比の問題に置換えられ、物理的な熱損失は主に熱交換の問題に置換えられる。そして化学

平衡と熱交換から検討を行なう。

3 鉄鉱石層のガスによる向流還元速度

充填層は古くから採用され、また反応形式である。この特色は単位容積あたりの反応面を大きく利用できることにある。シャフト炉は鉱石を降下させることにより、ガスと向流状態で反応させることができる。鉄鉱石のガス還元はほぼ化学反応律速として取扱うこと、向流状態におけるガス一回体反応を用い表面積に着目して無次元化する。⁵⁾

鉱石の無次元化時間 O_t は次式で表わせる。

$$O_t = k X_r P t / r^2 \quad (1)$$

ガスの無次元化接触時間 G_C は次式で表わせる。

$$G_C = 4.2 \cdot k X_r P X_0 W / Q r^2 \quad (2)$$

下降鉱石と上昇ガスの酸素バランス BC は

$$BC = G_C / 3 O_t \quad (3)$$

となる。

ここに k : 化学反応速度係数 [$\text{kg}/\text{m}^2 \text{h atm}$], X_r : 置元ガス分率 [-], P : ガス全圧 [atm], r : 鉱石の見掛け密度 [kg/m^3], t : 鉱石滞在時間 [h], R : 鉱石半径 [m], X_0 : 置元するべき酸素分率 [-], W : 層中鉱石全重量 [kg], である。

三界面未反応核モデルを使い、化学反応速度律速で計算を行ない、移動層における最終還元率とガス利用率を O_t と G_C をパラメータ

として、温度 900°C , CO による還元の向流状態の計算を行なった結果を図1に示す。

高炉における直接還元率を 70% とすると、図1より平衡ガス利用率は 55.6% である。実績ではガス利用率は 50% を越え、とくに減産下の現在では 54% に達したとの報告があり、ガス利用率はほぼ平衡に達しているといえる。

シャフト炉においては、 O_t , G_C の計算で鉱石を高炉と同じサイズとすると、高炉ボツシユガスは N_2 で 50% 含み、シャフト炉用置元ガスは N_2 がほとんどないので、 X_r は同じ高炉の2倍となり、高炉内にはユーラスが容積の半分を占めるので、 W は同じ高炉の2倍となる。これだけで同一炉内容積あたり G_C 、 O_t は共に4倍となり（同一生産速度に同じしても倍となるため）、4倍の生産速度のみで同一の還元率、ガス利用率が得られるといえる。圧力が高炉の2倍のシャフト炉で2倍であれば2倍に、1.5倍であれば4倍である。ただシャフト炉では還元率を 95% まで上げねばならず、高炉の直接還元率は 70% なので、そのとくにシャフト炉のガス利用率は高炉に比べ低下するが、ガス利用率を上げるために生産速度を増す（やうなく）はならない。

4 熱交換特性

高炉では、羽口前で約 2000°C になつたボツシユガスは降下する固体と熱交換を行なつて、炉頂ガスとして約 100°C で出て行く。したがつて温度効率は 95% に達する。この熱交換効率の良さが、高炉の熱経済にとり重要な要素を占めている。

このガス-固体の熱交換は固体の表面を通して行なわれるもので、表面伝熱抵抗律速として取扱い、前節同様の固体表面について無次元化する。

固体の無次元化時間 O_t' は次式で表わせる。

$$O_t' = h t / \rho C T \quad (4)$$

ガスの無次元化接触時間 G_C' は次式で表わせる。

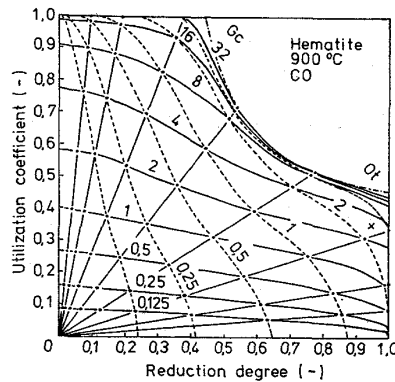


図1 向流還元における無次元化ダイヤグラム

$$GC' = hA / CpQ = 3hW / Cp r^2 \quad (5)$$

熱流比を BO' とすると、次式に表はせる。

$$BO' = GC' / 3Ot' \quad (6)$$

ここで、 $A = 3W / (r^2)$ 球体表面の固体の総表面積 [m^2]、 h : 固体表面の熱伝達係数 [$\text{kcal}/m^2\text{h}^{\circ}\text{C}$]、
 C_p : ガス流量 [$N\text{m}^3/\text{h}$]、 W : 層中固体全重量 [kg]、 Q : ガス流量 [$N\text{m}^3/\text{h}$]、 r : 固体平均粒径 [m]、
 ρ : 固体平均見掛け密度 [kg/m^3]、 C : 固体の平均比熱 [$\text{kcal}/m^3\text{h}^{\circ}\text{C}$]、 t : 固体滞在時間 [h] である。

改質炉のような鉄管式のガス—ガス熱交換については、 h に熱貫流係数を用い、 $Ot' = GC'$ の前式のようない総表面積 A を使って式(6)計算し、鉄管の総表面積を使えば同様に取扱える。

逆流熱交換器における温度効率は次式で計算できる。⁶⁾

$$\text{高溫側温度効率 } \eta_h = \frac{t_{h_1} - t_{h_2}}{t_{h_1} - t_{c_1}} = \frac{1 - E}{1 - \beta E} \quad (7)$$

$$\text{低温側温度効率 } \eta_c = \frac{t_{c_2} - t_{c_1}}{t_{h_1} - t_{c_1}} = \frac{1 - E}{1 - \beta E} \cdot \beta \quad (8)$$

平行流熱交換器では

$$\eta_h = \frac{1 - E}{1 + \beta} \quad (9) \quad \eta_c = \frac{1 - E}{1 + \beta} \cdot \beta \quad (10)$$

$$\text{ただし } \beta = \frac{C_p Q}{C W / t} = \frac{1}{BO'} \quad (11) \quad E = \exp(-\gamma h A) \quad (12)$$

$$\gamma \text{ は逆流では } \gamma = \frac{1}{C_p Q} - \frac{1}{C W / t} \quad (13)$$

$$\text{平行流では } \gamma = \frac{1}{C_p Q} + \frac{1}{C W / t} \quad (14)$$

ここで、 t_{h_1} : 高温ガス入口温度、 t_{h_2} : 高温ガス出口温度、
 t_{c_1} : 低温固体入口温度、 t_{c_2} : 低温固体出口温度、
 である。

(4)~(14) 式を使って計算をし、 GC' 、 Ot' をパラメータとして、 η_h 、 η_c を計算してダイヤグラムを用ると、図2 図3 のようになる。逆流熱交換は平行流熱交換に比べ有利であるのがわかる。高炉における熱交換特性は図2 の右上角の点のあたりにあり、非常に良いといえる。シャフト炉の改質炉の管径を 260 mm 中とするとき⁷⁾ 表面積は高炉内の固体表面に比べ、数十分の 1 となり、温度効率は 30 % 位の所に来ると想われる。

直接置換法における燃料比を高炉と同じ程度にうちさめには、熱交換方式を根本的に変更しなければならないと思う。

文献

1) R.S. Barnes Stahl u. Eisen 94 (1974) P 23, 2) S. Eketoep Scand. J. of Met. 3 (1974) P 200

3) 重見 製鉄ハンドブック P 188 地図書館 4) U. Kalla Stahl u. Eisen 87 (1967) P. 534, 5) 相馬 鉄と鋼 61 (1975) P 909, 6) 内田 伝熱工学 P 262 黒華房 7) 面田 鉄と鋼 62 (1972) P 705

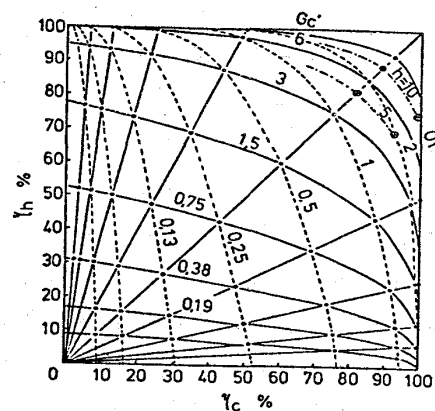


図2 逆流熱交換器における無次元化ダイヤグラム

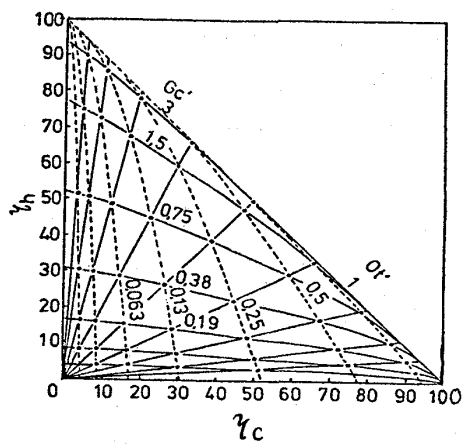


図3 平行流熱交換器における無次元化ダイヤグラム